## Mathematische Biologie FSU Jena - WS 2009/2010 Übungsserie 11 - Lösungen

Stilianos Louca

24. Januar 2010

## Aufgabe 11

Betrachtet sei das DGL-System

$$\dot{\mathbf{x}} = \mathbf{f}(\mathbf{x}) := \begin{pmatrix} y - x^3 + 3x^2 + 2 - \mu \\ 1 - 5x^2 - y \end{pmatrix}$$

in  $\mathbf{x}:=(x,y)$ mit zunächst festem Parameter  $\mu.$ 

(a) Die beiden Hauptisoklinen sind gegeben durch

$$\begin{aligned} &\{\dot{x}=0\} = \left\{y = x^3 - 3x^2 - 2 + \mu =: s(x)\right\} \\ &\{\dot{y}=0\} = \left\{y = 1 - 5x^2 =: w(x)\right\} \end{aligned}$$

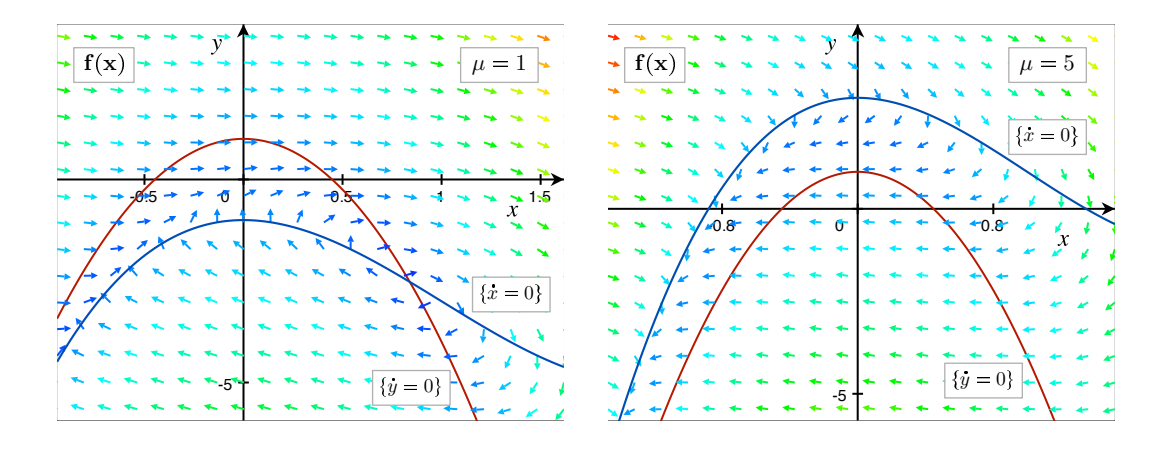
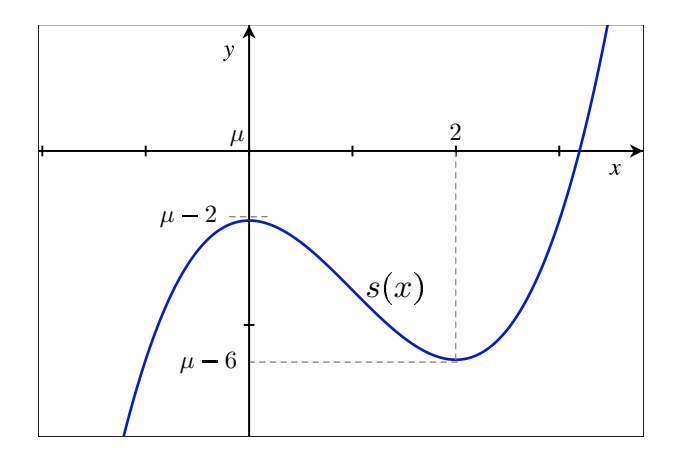


Abbildung 0.1: Typischer Verlauf des Vektorfeldes  $\mathbf{f}(\mathbf{x})$  für verschiedene  $\mu\textsc{-Werte}.$ 

Durch

$$\frac{ds}{dx} = 3x(x-2)$$
 ,  $\frac{d^2s}{dx^2} = 6(x-1)$ 

wird ersichtlich, dass s ein lokales Maximum bei  $x_{s,max} := 0$  und ein lokales Minimum bei  $x_{s,min} := 2$  besitzt (vgl. Abb. (0.2)).



**Abbildung 0.2:** Verlauf der s-Isokline ( $\{\dot{x}=0\}$ ). Ein Variation von  $\mu$  entspricht lediglich einer vertikalen Verschiebung von s.

Die Fixpunkte  $\mathbf{x}^0$  ergeben sich als Schnittpunkte der Hauptisoklinen:

$$\{\text{Fixpunkte}\} = \{(x, s(x)) : x^3 + 2x^2 - 3 + \mu =: P(x) = 0\}$$

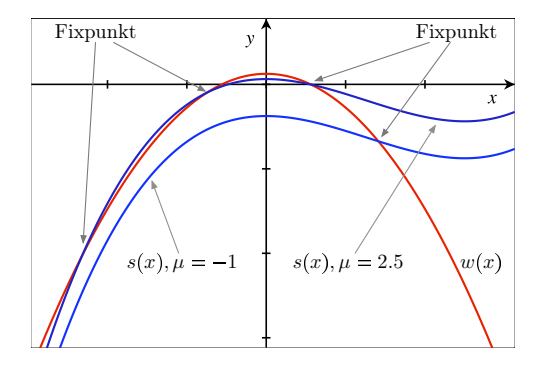
$$(0.1)$$

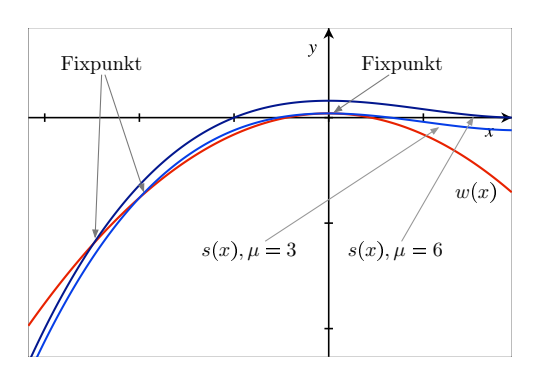
Zu erkennen ist:

- Jeder Fixpunkt  $\mathbf{x}^0$  ist eindeutig bestimmt durch seine erste Komponente  $x^0$ , die als Nullstelle des Polynoms P charakterisiert ist.
- Das Polynom P(x) besitzt mindestens eine Nullstelle, da  $\lim_{x\to\pm\infty}=\pm\infty$ . Anderseits besitzt es höchstens 3 Nullstellen.
- Im Fall  $\mu=0$  besitzt P genau ein lokales Maximum bei  $x_{\rm p,max}:=-4/3$  und lokales Minimum bei  $x_{\rm p,min}=0$  mit jeweils den Werten  $P_{\rm max}=\mu-49/27$  und  $P_{\rm min}=\mu-3$ .
- Daher besitzt P:
  - o Genau eine (positive bzw. negative) Nullstelle falls  $P_{\rm max} < 0$  oder  $P_{\rm min} > 0$ , sprich  $\mu < 49/27$  bzw.  $\mu > 3$ .
  - $\circ~$  Die triviale und eine negative Nullstelle falls  $P_{\min}=0,$  sprich  $\mu=3.$
  - Eine positive und eine negative Nullstelle falls  $P_{\rm max}=0$ , sprich  $\mu=49/27$ .
  - o Die triviale und zwei Nullstellen unterschiedlichen Vorzeichens falls  $P_{\min} < 0 < P_{\max}$ , sprich  $\mu \in (49/27,3)$ .

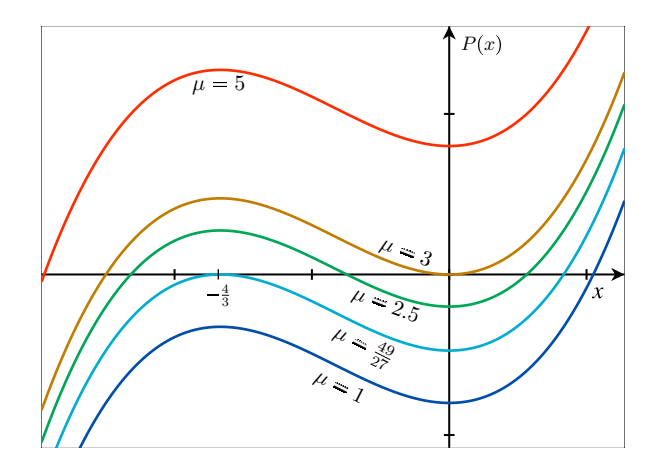
(vgl. Abb. (0.4)).

Abbildung (0.3) zeigt die beiden Hauptisoklinen bzw. deren Schnittpunkte für verschiedene  $\mu$ -Werte.



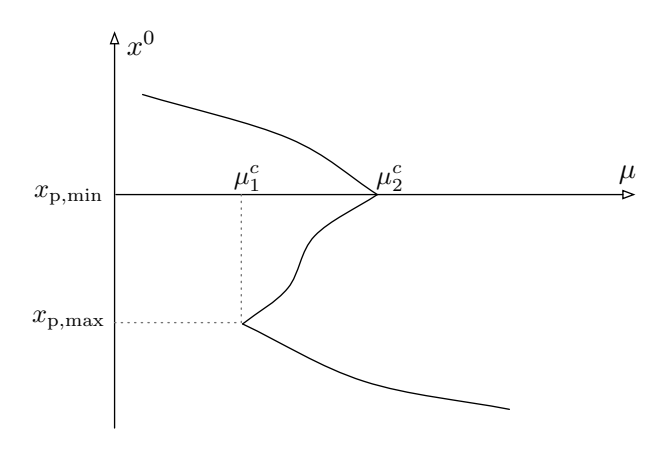


**Abbildung 0.3:** s- und w-Isoklinen für verschiedene Parameterwerte  $\mu < 3$  und  $\mu \ge 3$ .



**Abbildung 0.4:** Verlauf des Polynoms P(x) für verschiedene  $\mu ext{-Werte}.$ 

Wie in Abbildung (0.4) zu erkennen ist, entsprechen die kritischen  $\mu$ -Werte  $\mu_1^c = 49/27$  und  $\mu_2^c = 3$  den neu entstehenden bzw. sich aufspaltenden Fixpunkten  $x_1^c = x_{\rm p,max} = -4/3$  und  $x_2^c = x_{\rm p,min} = 0$ . Der allgemeine Verlauf der Fixpunkte ist in Abb. (0.5) qualitativ illustriert.



**Abbildung 0.5:** Verlauf der Fixpunkte  $x^0$  bei variierenden  $\mu$ -Werten. Beachte die beiden Tangentenbifurkationen bei den kritischen Werten  $\mu_1^c, \mu_2^c$ .

## (b) Der Jacobian

$$J(\mathbf{x}) := \frac{\partial \mathbf{f}}{\partial \mathbf{x}} = \begin{pmatrix} -3x^2 + 6x & 1\\ -10x & -1 \end{pmatrix}$$

besitzt die Eigenwerte

$$\lambda_{1,2} = -\frac{a_1}{2} \pm \sqrt{\frac{a_1^2}{4} - a_2}$$

wobei

$$a_1 := 3x^2 - 6x + 1 = \left[x - \left(1 + \frac{2}{\sqrt{6}}\right)\right] \cdot \left[x - \left(1 - \frac{2}{\sqrt{6}}\right)\right]$$

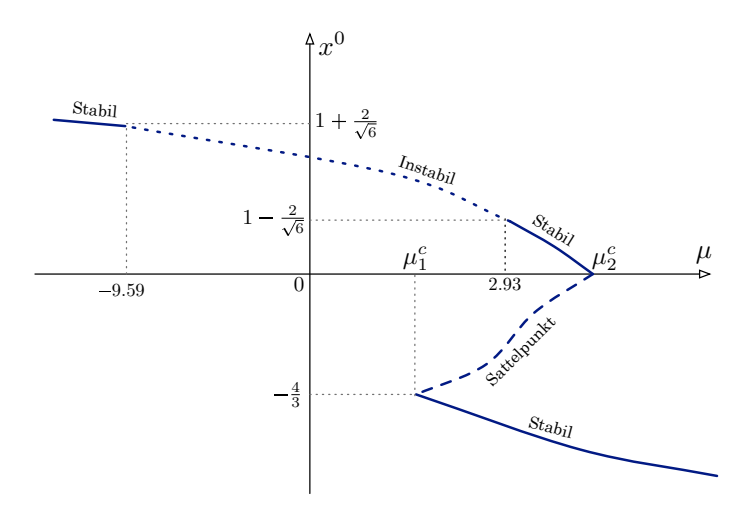
$$a_2 := 3x^2 + 4x = 3x \cdot \left(x + \frac{4}{3}\right) = 3\left(x - x_{\text{p,min}}\right)\left(x - x_{\text{p,max}}\right)$$

Tabelle (0.1) zeigt das Vorzeichen-Kerhalten der Koeffizienten  $a_1, a_2$ .

$x^0$		$x_{p,\max}$		$x_{\mathrm{p,min}}$		$   \begin{array}{c}     1 - \frac{2}{\sqrt{6}} \\     46 - 10\sqrt{6}   \end{array} $		$     \begin{array}{r}       1 + \frac{2}{\sqrt{6}} \\       46 + 10\sqrt{6}   \end{array} $	
$\mu(x^0)$		$\mu_1^c$		$\mu_2^c$		$\frac{40-10\sqrt{6}}{3\sqrt{6}}$		$-\frac{40+10\sqrt{6}}{3\sqrt{6}}$	
$a_1$	+	+	+	+	+	0	_	0	+
$a_2$	+	0	_	0	+	+	+	+	+
Stabilität	St.		Satt.		St.		Inst.		St.

**Tabelle 0.1:** Vorzeichen-Verhalten der Eigenwert-Koeffizienten  $a_1, a_2$  und Stabilitätsverhalten möglicher Fixpunkte  $x^0$ . Dazu angegeben sind die  $\mu$ -Werte bei denen die kritischen Fixpunkte  $x^0$  zustande kommen (vgl. Charakterisierung (0.1)).

Abbildung (0.5) nimmt dementsprechend die in (0.6) illustrierte Form an.



**Abbildung 0.6:** Qualitativer Fixpunktverlauf & Stabilitätsverhalten bei variierendem  $\mu$ . Beachte die beiden Tangentenbifurkationen an den kritischen Werten  $\mu_1^c, \mu_2^c$ .

(c) Abbildung (0.7) zeigt das vollständige Bifurkationsdiagramm, inklusive Grenzzyklen.

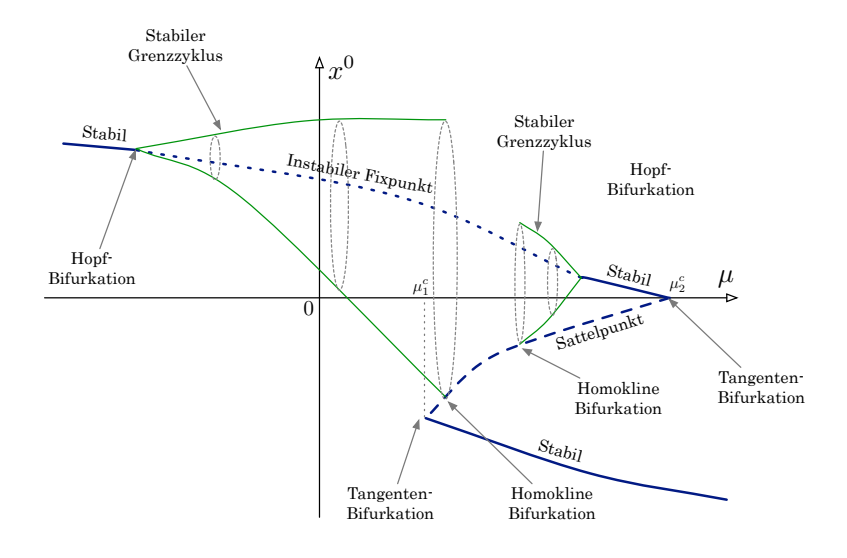
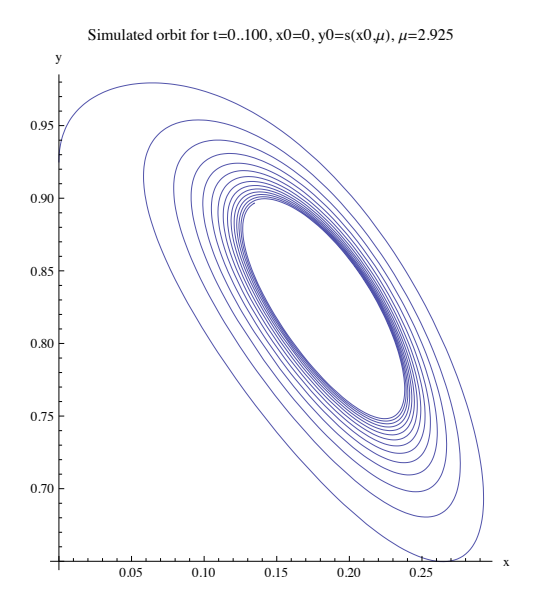


Abbildung 0.7: Vollständiges Bifurkationsdiagramm.

Abbildung (0.8) zeigt eine numerische Integration der Bewegungsgleichung bei vorhandenem Grenzzyklus.

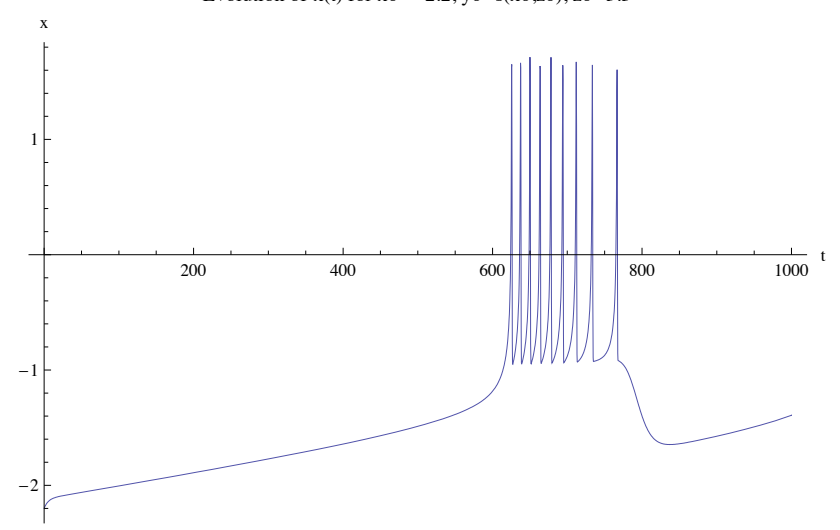


**Abbildung 0.8:** Beispiel-Simulation für festes  $\mu=2.925$  und Anfangswerten  $x_0=0,\ y_0=s(x_0)$ . Klar zu erkennen ist, das äußere Annähern des Orbits an den stabilen Grenzzyklus.

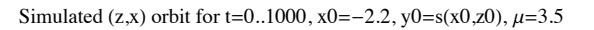
(d) Betrachtet sei nun  $\mu =: z(t)$  als langsam veränderlicher Parameter im DGL-System

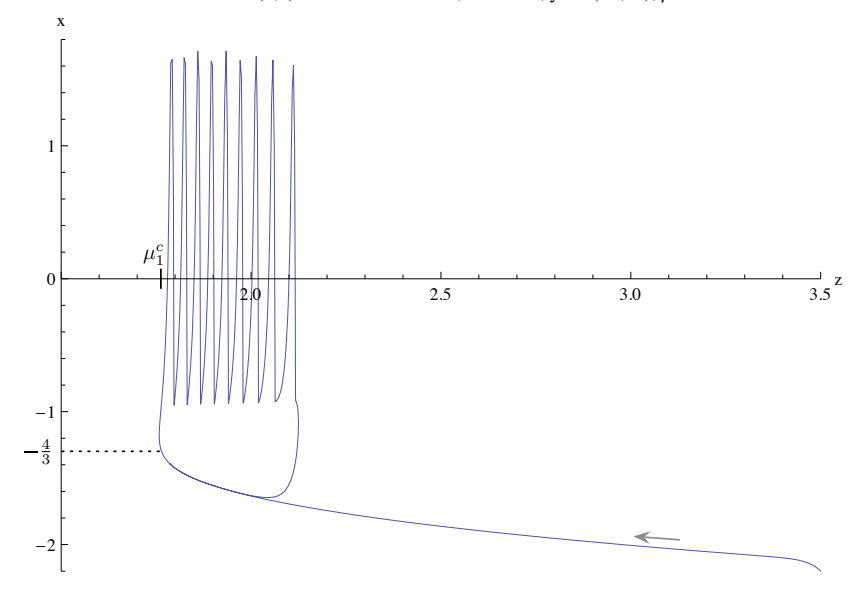
$$\begin{pmatrix} \dot{x} \\ \dot{y} \\ \dot{z} \end{pmatrix} = \begin{pmatrix} y - x^3 + 3x^2 + 2 - z \\ 1 - 5x^2 - y \\ r \cdot [s(x - x_1) - z] \end{pmatrix} , \quad r = 0.001, \quad s = 4, \quad x_1 = -1.618$$

Bei genügend langsamer Veränderung von z bewegt sich das System entlang seiner stabilen Fixpunktzweige. Ein annähern von rechts, entlang des unteren (stabilen) Zweigs führt irgendwann zum kritischen Punkt  $x=\mu_1^c$ , was mit einem abrupten Übergang in den mit dem oberen Zweig assoziierten Grenzzyklus verbunden ist (vgl. Abb. (0.7)). Insbesondere bewirken die nun erhöhten Werte von x auch eine entsprechende Erhöhung des langsamen Parameters z was wiederum am homoklinen Bifurkationspunkt auf den alten Zweig führt. Abbildungen (0.10) und (0.10) zeigen diesen verlauf anhand einer numerischen Integration der Bewegungsgleichungen.



**Abbildung 0.9:** Simulation der x-Entwicklung bei langsamvariierendem z. Anfangswerte waren  $x_0 = -2.2$  (unterer Fixpunktzweig),  $y_0 = s(y_0, z_0)$  und  $z_0 = 3.5$  (Annäherung von rechts).





**Abbildung 0.10:** Simulation des (z,x)-Orbits für Anfangswerte  $x_0=-2.2$  (unterer Fixpunktzweig),  $y_0=s(y_0,z_0)$  und  $z_0=3.5$  (Annäherung von rechts). Zu erkennen ist das plötzliche *Aufschwingen* des schnellen Parameters x durch langsame Reduzierung von z und die automatische Beruhigung mit anschließender Wiederholung des Vorgangs.